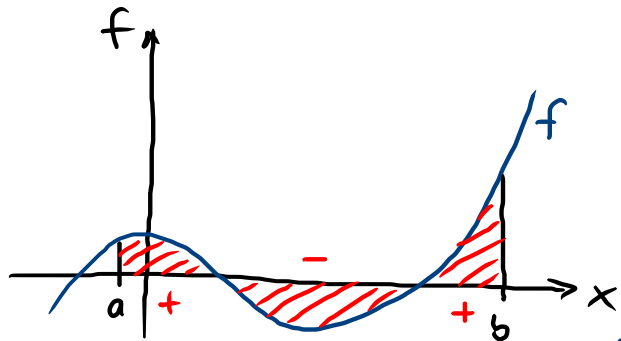


VI. Integrale

VI.1 Gewöhnliche Integrale

ein Ziel: Berechnen von Flächen unter Graphen von Funktionen

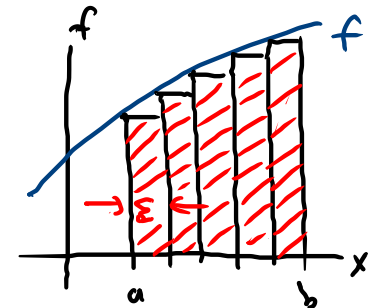


Fläche $F_a^b =: \int_a^b dx f(x)$

\int → Skizziert Σ (Leibniz 1675)
 dx → Differenzial
 $f(x)$ → Integrand

Beziehung zu Σ : $\int_a^b dx f(x) = \lim_{\varepsilon \rightarrow 0} \sum_{n=0}^{N-1} \varepsilon \cdot f(a+n\varepsilon)$

$N\varepsilon = b-a$



Eigenschaften: (6.1)

$$\int_b^a dx f(x) := - \int_a^b dx f(x)$$

$$\int_a^a dx f(x) = 0$$

$$\int_a^b dx \text{ konst} = \text{konst} \cdot (b-a)$$

$$f(-x) = -f(x) \rightarrow \int_{-a}^a dx f(x) = 0$$

$$\int_a^b dx (\alpha f + \beta g)(x) = \alpha \int_a^b dx f(x) + \beta \int_a^b dx g(x)$$

$$\int_a^b dx f + \int_b^c dx f = \int_a^c dx f$$

$$\int_a^b dx f(x) = \int_{a+c}^{b+c} dx f(x-c)$$

$$\int_a^b dx f(x) = \lambda \int_{a/\lambda}^{b/\lambda} dx f(\lambda x)$$

Hauptsatz: betrachte $\int_a^b dx f(x)$ als Funktion von b :

$$\int_a^b dx f(x) =: I(b, a) \quad \text{wachtele an oberer Grenze } b$$

$$I(b+\varepsilon, a) - I(b, a) = \left(\int_a^{b+\varepsilon} - \int_a^b \right) dx f(x) = \int_b^{b+\varepsilon} dx f(x) \stackrel{\varepsilon \text{ sehr klein}}{=} \varepsilon \cdot f(b) + O(\varepsilon^2)$$

$$\xrightarrow[\lim_{\varepsilon \rightarrow 0}]{+\varepsilon} \partial_b I(b, a) = \partial_b \int_a^b dx f(x) = f(b)$$

Def.: eine Stammfunktion F zu einer Funktion f erfüllt $F' = f$
„Anti-Ableitung“, „Aufleitung“, nur bis auf Konstante festgelegt

$$\begin{aligned} \rightarrow I(b, a) &= F(b) + C \leftarrow \text{konst.} \\ \text{für } b=a: I(a, a) &= 0 = F(a) + C \end{aligned} \left. \vphantom{\begin{aligned} \rightarrow I(b, a) &= F(b) + C \\ \text{für } b=a: I(a, a) &= 0 = F(a) + C \end{aligned}} \right\} \Rightarrow I(b, a) = F(b) - F(a)$$

$$\text{Fazit: } \int_a^b dx f(x) = \int_a^b dx \frac{dF}{dx}(x) = \int_{F(a)}^{F(b)} dF = F \Big|_a^b = F(b) - F(a) \quad (6.2)$$

Integrieren ist eine Kunst. Aber es gibt Tricks!

z.B. Symmetrie: $\int_{-\pi}^{\pi} dx \frac{\sin x}{1+x^2} = 0$ weil $f(-x) = -f(x)$

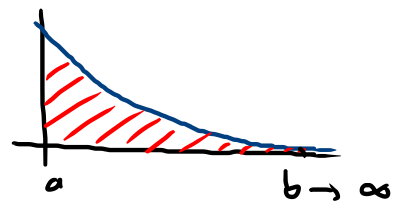
Lösungsstrategie: f skizzieren, umformen, Ansätze probieren

Bsp.: $\int_{-\pi/6}^{\pi/4} dx \tan x \stackrel{\text{sym}}{=} \int_{\pi/6}^{\pi/4} dx \tan x = \int_{\pi/6}^{\pi/4} dx \frac{\sin x}{\cos x}$

$\stackrel{\substack{\text{cos}' = -\text{sin} \\ \text{raten}}}{=} - \int_{\pi/6}^{\pi/4} dx \frac{d}{dx} \ln \cos x \stackrel{\text{Hauptregel}}{=} - \ln \cos x \Big|_{\pi/6}^{\pi/4}$

$= - \ln \cos \pi/4 + \ln \cos \pi/6 = - \ln(\frac{1}{2}\sqrt{2}) + \ln(\frac{1}{2}\sqrt{3}) = \ln \frac{\sqrt{3}}{\sqrt{2}} = \frac{1}{2} \ln \frac{3}{2}$

uneigentliche Integrale: Flächen, die sich bis ∞ (oder $-\infty$) erstrecken



definiert als Grenzwert $\int_a^{\infty} dx f(x) = \lim_{b \rightarrow \infty} \int_a^b dx f(x)$

muss nicht existieren! ($F \rightarrow \infty$ möglich)

Beispiele:

$$\lambda > 0$$

$$\cdot \int_0^{\infty} dx e^{-\lambda x} = \int_0^{\infty} dx \frac{d}{dx} \left(-\frac{1}{\lambda} e^{-\lambda x} \right) = -\frac{1}{\lambda} e^{-\lambda x} \Big|_0^{\infty} = 0 + \frac{1}{\lambda}$$

$$\cdot \int_0^{\infty} dx \{ \ln(1+e^x) - x \} < \infty ? \quad \text{untersuche Integral für } x \rightarrow \infty$$

$$\{ \dots \} = \ln(1+e^x) - x = \ln[e^x(e^{-x}+1)] - x$$

$$= \ln e^x + \ln(\underbrace{e^{-x}+1}_{z \text{ klein}}) - x = x + \ln(1+z) - x$$

$$= z - \frac{1}{2}z^2 + \frac{1}{3}z^3 \mp \dots = e^{-x} - \frac{1}{2}e^{-2x} + \frac{1}{3}e^{-3x} \mp \dots \xrightarrow[x \rightarrow \infty]{\text{exp}} 0$$

→ \int existiert ✓

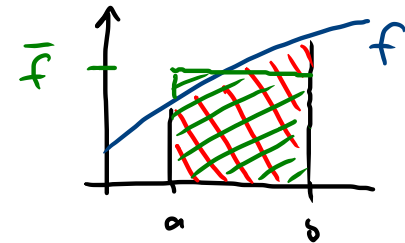
VI.2 Beispiele

a) Mittelung

Grenzwert des arithmetische Mittels auf kontinuierliche Mengen

$$\bar{f} = \lim_{N \rightarrow \infty} \frac{1}{N} \sum_n f_n = \lim_{N \rightarrow \infty} \frac{\sum_n f_n \cdot dx}{N \cdot dx} = \frac{\int_a^b dx f(x)}{b-a} \quad (6.3)$$

$$\overline{f^2} = \frac{1}{b-a} \int_a^b dx f(x)^2 \neq \bar{f}^2 = \frac{1}{(b-a)^2} \left(\int_a^b dx f(x) \right)^2$$



$$\overline{f+g} = \bar{f} + \bar{g}, \quad \overline{\alpha f} = \alpha \cdot \bar{f}, \quad \overline{1} = 1, \quad \overline{\bar{f}} = \bar{f}$$

Schwankung:

$$\Delta f := \sqrt{\overline{(f - \bar{f})^2}} = \sqrt{\overline{f^2 - 2f\bar{f} + \bar{f}^2}} = \sqrt{\overline{f^2} - \bar{f}^2} \quad (6.4)$$

Bsp.: harmonischer Oszillator $x(t) = A \cos \omega t$, $T = \frac{2\pi}{\omega}$

$$\bar{x} = \frac{1}{T} \int_0^T dt A \cos \omega t = 0, \quad (\Delta x)^2 = \overline{x^2} = \frac{1}{T} \int_0^T dt A^2 \cos^2 \omega t = \frac{1}{2} A^2$$

$$\bar{V} = \frac{1}{T} \int_0^T dt \frac{k}{2} x^2 = \frac{k}{4} A^2 \quad \text{potenzielle Energie}$$

$$\bar{T} = \frac{1}{T} \int_0^T dt \frac{m}{2} \dot{x}^2 = \frac{1}{T} \int_0^T dt \frac{m}{2} (-A\omega \sin \omega t)^2 = \frac{m}{2} A^2 \omega^2 \cdot \frac{1}{2} = \frac{k}{4} A^2 \quad \text{kinetische Energie}$$

$m\omega^2 = k$

← gleich →

b) lineare Massenverteilung

$$m_i \quad i=1, \dots, N \xrightarrow{N \rightarrow \infty} \sigma(x) \quad x \in [0, L]$$



Massendichte [kg/m]

$\rightarrow \sigma(x) dx$ Masse zwischen x und $x+dx$

$$\rightarrow M = \sum_{i=1}^N m_i \xrightarrow{N \rightarrow \infty} M = \int_0^L dx \sigma(x) \quad \text{Gesamtmasse}$$

Beispiele:

Schwerpunkt

$$R_s = \frac{1}{M} \sum_i m_i x_i \xrightarrow{N \rightarrow \infty} R_s = \bar{x} = \frac{1}{M} \int_0^L dx \sigma(x) x \quad (6.5)$$

Trägheitsmoment um $x=0$:

$$I = \sum_i m_i x_i^2 \xrightarrow{N \rightarrow \infty} I = M \bar{x}^2 = \int_0^L dx \sigma(x) x^2 \quad (6.6)$$

← erstes
"Moment"
← zweites

c) Überlagerung

zwei Kraftfelder $\vec{F}_{(1)}$ & $\vec{F}_{(2)}$ \leadsto Summe $\vec{F} = \vec{F}_{(1)} + \vec{F}_{(2)}$

Seien konservativ $\vec{F}_{(i)}(\vec{r}) = -\vec{\nabla} V_{(i)}(\vec{r}) \quad i=1,2$

$\leadsto \vec{F} = -\vec{\nabla} V$ mit $V = V_{(1)} + V_{(2)}$

Bsp.: Gravitationspotenzial einer linearen Massenverteilung

eine Masse (M_0, \vec{r}_0) : $V(\vec{r}) = -\frac{\gamma m M_0}{|\vec{r} - \vec{r}_0|}$

viele Massen (M_i, \vec{r}_i) :
(N) $V(\vec{r}) = -\gamma m \sum_{i=1}^N \frac{M_i}{|\vec{r} - \vec{r}_i|}$

kontinuierliche Massenverteilung ($\sigma(x')$ entlang $x' \in [0, L]$);

$$V(\vec{r}) = -\gamma m \int_0^L dx' \frac{\sigma(x')}{|\vec{r} - \vec{r}(x')|} = -\gamma m \int_0^L dx' \frac{\sigma(x')}{\sqrt{(x-x')^2 + y^2 + z^2}} \quad (6.7)$$

$\vec{r} \doteq (x, y, z)$
 $\vec{r}(x') \doteq (x', 0, 0)$

VI.3 Integrationsmethoden

a) Partialbruch-Zerlegung

Beispiel: $\frac{1}{x(1+x^2)} = \frac{A}{x} + \frac{B}{1+x^2}$ mit A, B Polynome in x

finde A, B : $1 = A \cdot (1+x^2) + B \cdot x = A + x(B + Ax)$

$\leadsto A=1, B=-x$ d.h. $\frac{1}{x(1+x^2)} = \frac{1}{x} - \frac{x}{1+x^2}$

$$\int \frac{dx}{x(1+x^2)} = \int \frac{dx}{x} - \int \frac{x dx}{1+x^2} = \ln x - \frac{1}{2} \ln(1+x^2)$$

b) Partielle Integration

nutze Produktregel

$$f = u \cdot v \leadsto f' = u' \cdot v + u \cdot v' \leadsto \int_a^b dx (u \cdot v)' = [u \cdot v]_a^b = \int_a^b dx u' \cdot v + \int_a^b dx u \cdot v'$$

$$\leadsto \int_a^b dx u' \cdot v = [u \cdot v]_a^b - \int_a^b dx u \cdot v' \quad (6.8)$$

Beispiel: $\int_0^y dx \ln x = \int_0^y dx 1 \cdot \ln x = [x \cdot \ln x]_0^y - \int_0^y x \cdot \frac{1}{x} = y \ln y - y$

$\underbrace{u=1}_{u'=0} \cdot v = \ln x \rightarrow v' = \frac{1}{x}$

c) Substitution = Wechsel der Integrationsvariablen

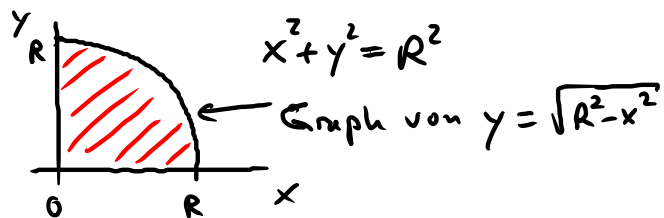
$$I = \int_a^b dx f(x) \quad \text{Substitution: } \begin{cases} x \rightarrow t \\ x = x(t) \leftrightarrow t = t(x) \\ dx = \frac{dx}{dt} dt = dt \dot{x}(t) \end{cases}$$

$$I = \int_{t(a)}^{t(b)} dt \dot{x}(t) \underbrace{f(x(t))}_{\text{neue Fkt. } g(t)} = \int_{t(a)}^{t(b)} dt \dot{x}(t) g(t) \quad (6.9)$$

Grenzen: $x=a$ und $x=b \iff t(a)$ und $t(b)$

Vorsicht; wenn $x(t)$ nicht monoton!

Beispiel: Kreisfläche



$$\begin{aligned} F_0 &= 4 \int_0^R dx \sqrt{R^2 - x^2} \\ &= 4 \int_0^{\pi/2} d\varphi R \cos \varphi \sqrt{R^2 - R^2 \sin^2 \varphi} \\ &= 4R^2 \int_0^{\pi/2} d\varphi \cos \varphi \sqrt{1 - \sin^2 \varphi} \\ &= 4R^2 \int_0^{\pi/2} d\varphi \cos^2 \varphi \\ &= 4R^2 \cdot \frac{\pi}{2} \cdot \frac{1}{2} = \pi R^2 \quad \checkmark \end{aligned} \quad \left. \begin{array}{l} \text{Substitution: } x \rightarrow \varphi \\ x = R \sin \varphi \\ dx = R \cos \varphi d\varphi \\ [0, R] \rightarrow [0, \pi/2] \end{array} \right\}$$

d) Differenzieren nach Parameter

Beispiel: $\int_0^{\infty} dx x^n e^{-x} = \int_0^{\infty} dx x^n e^{-\alpha x} \Big|_{\alpha=1}$
 ($n=0,1,2,\dots$)

$$= \left[\left(-\frac{d}{d\alpha} \right)^n \int_0^{\infty} dx e^{-\alpha x} \right] \Big|_{\alpha=1} = \left[\left(-\frac{d}{d\alpha} \right)^n \frac{1}{\alpha} \right] \Big|_{\alpha=1}$$

$$= n! \alpha^{-(n+1)} \Big|_{\alpha=1} = n!$$

e) Parameter-Abhängigkeit

... falls nur Abhängigkeit von einem Parameter gesucht...

Beispiel: T-Abhängigkeit der Energie E eines Hohlraumstrahlers

$$E = \frac{V}{\pi^2} \int_0^{\infty} \frac{d\varepsilon}{(hc)^3} \frac{\varepsilon^3}{e^{\varepsilon/T} + 1} \stackrel{\varepsilon=T \cdot x}{=} \frac{V}{\pi^2} \int_0^{\infty} \frac{T dx}{(hc)^3} \frac{(Tx)^3}{e^x + 1} = \frac{V \cdot T^4}{(hc)^3 \pi^2} \int_0^{\infty} \frac{dx x^3}{e^x + 1} \sim T^4$$

f) Reihenentwicklung eines Integranden

Beispiel: $\int_0^{\infty} dx \frac{x^3}{e^x + 1} = \int_0^{\infty} dx \frac{x^3 e^{-x}}{1 + e^{-x}} =$ entwickeln in Potenzreihe, gliedweise integrieren $\int_0^{\infty} dx x^3 (e^{-x})^n$

$$= 6 \sum_{k=1}^{\infty} (-1)^{k-1} \frac{1}{k^4} = 6 \cdot \frac{7\pi^4}{720}$$

$1 - e^{-x} + (e^{-x})^2 - \dots$

Bemerkung: Hauptsatz als Substitution

$$I = \int_a^b dx f(x)$$

Substitution: $x = x(t)$ mit $t = F$ so dass $\frac{dF}{dx} = f$

Stammfunktion

$$\rightarrow dx = \frac{dx}{dF} dF \Leftrightarrow \dot{x} = \frac{dx}{dF} = \frac{1}{f}$$

$$\rightarrow I = \int_{F(a)}^{F(b)} dF \cdot \frac{dx}{dF} f(x(F)) = \int_{F(a)}^{F(b)} dF \cdot 1 = F(b) - F(a)$$

1/f *f*

VI.4 Kurven, Volumen, Flächen

Verallgemeinerungen, die sich auf gewöhnliche Integrale reduzieren lassen

a) Vektor - Integral

z. B. $\int dt \vec{F}(t) = \vec{p}$

$$\int_a^b dx \vec{F}(x) \doteq \int_a^b dx (f_1(x), f_2(x), f_3(x)) = \left(\int_a^b dx f_1(x), \int_a^b dx f_2(x), \int_a^b dx f_3(x) \right)$$

b) Kurven- oder Weg-Integral

Beiträge werden entlang einer Kurve aufgesammelt

Kurve \mathcal{C} , parametrisiert durch

$$\vec{r}(t) \quad t \in [t_1, t_2]$$

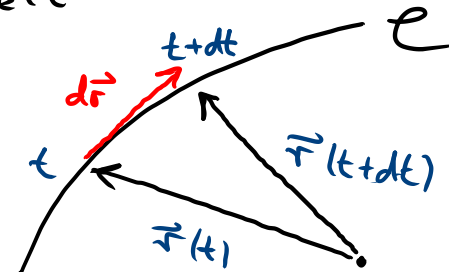
im Zeitraum $[t, t+dt]$ ändert sich \vec{r} um

$$\vec{r}(t+dt) - \vec{r}(t) = \dot{\vec{r}}(t) dt = d\vec{r}(t)$$

Länge des Verschiebvektors $d\vec{r} \doteq (dx, dy, dz)$

$$ds := |d\vec{r}| = \sqrt{(dx)^2 + (dy)^2 + (dz)^2} \stackrel{\cdot dt}{=} \sqrt{\dot{x}^2 + \dot{y}^2 + \dot{z}^2} dt = v(t) dt \quad (6.10) \quad v = |\dot{\vec{r}}|$$

$$\Rightarrow \int_{\mathcal{C}} ds f(\vec{r}) := \int_{t_1}^{t_2} dt v(t) f(\vec{r}(t)) \quad (6.11) \quad f(\vec{r}(t)) =: g(t)$$



$$(dx)^2 \neq d(x^2) = 2x dx$$

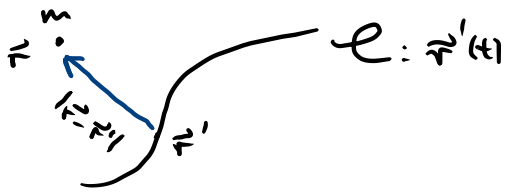
Beispiele:

• Länge von \mathcal{C} : $L = \int_{\mathcal{C}} ds \, 1 = \int_{t_1}^{t_2} dt \, v(t)$ mit $v = |\dot{\vec{r}}| = \sqrt{\dot{\vec{r}}^2}$ Notation:
bei geschlossenem \mathcal{C}

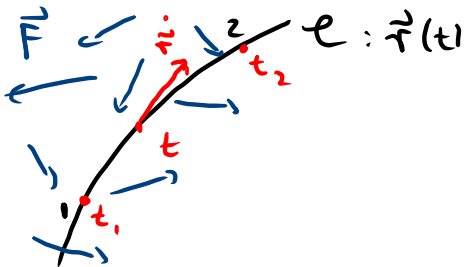
• Masse eines Drahts: $M = \int_{\mathcal{C}} ds \, \sigma(\vec{r}) = \int_{t_1}^{t_2} dt \, v(t) \, \sigma(\vec{r}(t))$ $\oint_{\mathcal{C}} ds \, f(\vec{r})$

• Gravitationspotenzial eines Drahtes:

$$V(\vec{r}) = -\gamma m \int_{\mathcal{C}} ds \frac{\sigma(\vec{r}')}{|\vec{r} - \vec{r}'|} = -\gamma m \int_{t_1}^{t_2} dt \frac{|\dot{\vec{r}}'(t)| \sigma(\vec{r}'(t))}{|\vec{r} - \vec{r}'(t)|} \quad (6.12)$$



• Arbeit längs \mathcal{C} : $W = \int_{\mathcal{C}} ds \, F_{||}(\vec{r}) = \int_{\mathcal{C}} \underbrace{|d\vec{r}|}_{\substack{\text{Tangenteinheitsvektor} \\ \downarrow}} \vec{E}(\vec{r}) \cdot \vec{F}(\vec{r}) = \int_{\mathcal{C}} d\vec{r} \cdot \vec{F}(\vec{r})$



$$= \int_{t_1}^{t_2} dt \, v(t) \, F_{||}(\vec{r}(t)) = \int_{t_1}^{t_2} dt \, \dot{\vec{r}}(t) \cdot \vec{F}(\vec{r}(t)) \quad (6.13)$$

$v\vec{E} = \vec{v} \times dt/dt$

für konservative $\vec{F} = -\vec{\nabla} V$: $\dot{\vec{r}} \cdot \vec{F}(\vec{r}) = -\dot{\vec{r}} \cdot \vec{\nabla} V(\vec{r}) = -\partial_t V(\vec{r}(t))$

$$\rightarrow W = \int_{t_1}^{t_2} dt \, (-\partial_t V(\vec{r}(t))) = V(\vec{r}(t_1)) - V(\vec{r}(t_2)) = V(1) - V(2) \quad \text{unabhängig von } \mathcal{C} \quad (6.14)$$

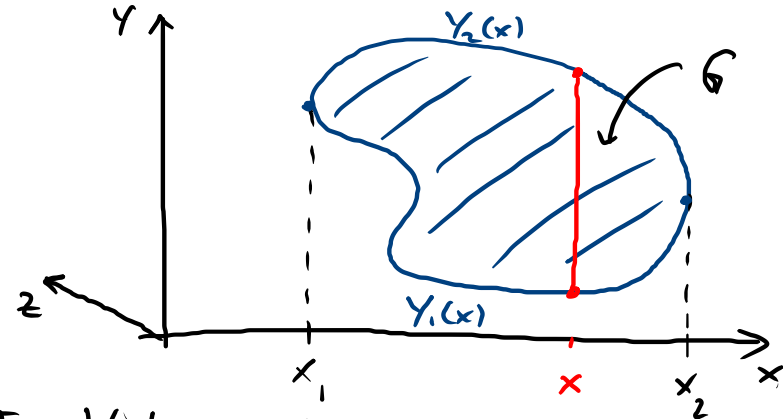
c) Ebenes Flächenintegral

Sammele Integranden $f(x,y)$ auf einem Gebiet $(x,y) \in G \subseteq \mathbb{R}^2$

erst $\int_{y_1(x)}^{y_2(x)} dy f(x,y) =: F(x)$ für jedes feste $x \in [x_1, x_2]$

dann $\int_{x_1}^{x_2} dx F(x) = I$, d.h.

$$I = \int_G d^2r f(x,y) = \int_{x_1}^{x_2} dx \int_{y_1(x)}^{y_2(x)} dy f(x,y)$$

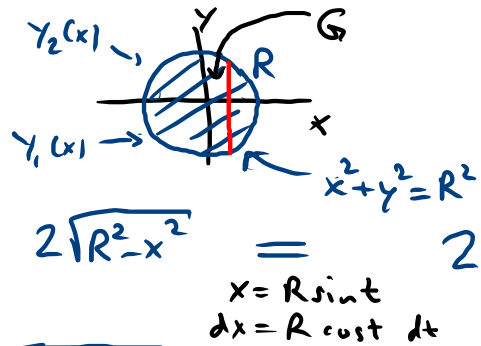


$I =$ Volumeninhalt unter Graphen $z = f(x,y)$
(6.15)

Beispiele:

- Flächeninhalt einer Kreisscheibe

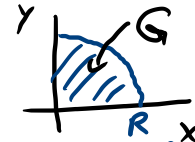
$$F = \int_G d^2r 1 = \int_{-R}^R dx \int_{-\sqrt{R^2-x^2}}^{+\sqrt{R^2-x^2}} dy 1 = \int_{-R}^R dx 2\sqrt{R^2-x^2} = 2 \frac{\pi}{2} R^2 = \pi R^2 \checkmark$$



$$f(x,y) = 1$$

- Volumen einer Kugel $f(x,y) = \sqrt{R^2-x^2-y^2} = z$

$$V = 8 \int_G d^2r \sqrt{R^2-x^2-y^2} = 8 \int_0^R dx \int_0^{\sqrt{R^2-x^2}} dy \sqrt{R^2-x^2-y^2} = 8 \cdot \frac{\pi}{2} \cdot \frac{1}{2} \int_0^R dx (R^2-x^2) = \frac{4\pi}{3} R^3 \checkmark$$



$$y = \sqrt{R^2-x^2} \sin \phi$$

$$dy = \sqrt{R^2-x^2} \cos \phi d\phi$$

d) Oberflächenintegral

Beiträge zu einem 2-dimensionalen Integral können entlang einer beliebigen Fläche im \mathbb{R}^3 aufgesammelt werden

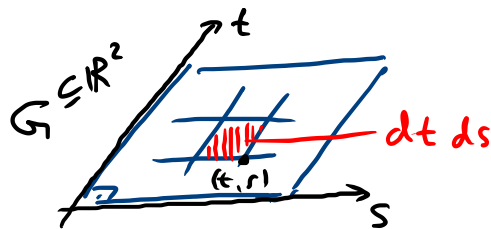
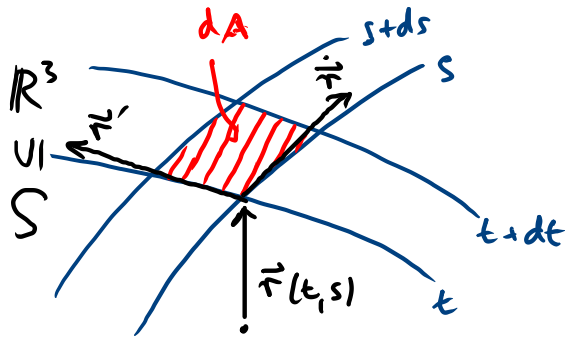
Oberfläche S , parametrisiert als $\vec{r}(t,s) \in \mathbb{R}^3$

$$\dot{\vec{r}} \equiv \frac{d\vec{r}}{dt} \quad \vec{r}' \equiv \frac{d\vec{r}}{ds}$$

Koordinaten $(t,s) \in G \subseteq \mathbb{R}^2$

Zum Bereich $[t, t+ds] \times [s, s+ds]$ gehört infinitesimale Fläche dA

gegeben durch Länge des Normalenvektor $d\vec{A}$



$$\begin{aligned} d\vec{A} &= [\vec{r}(t+dt, s) - \vec{r}(t, s)] \times [\vec{r}(t, s+ds) - \vec{r}(t, s)] \\ &= \dot{\vec{r}}(t, s) \times \vec{r}'(t, s) dt ds =: \vec{n} dA \end{aligned} \quad (6.16)$$

also:

$$dA = |d\vec{A}| = |\dot{\vec{r}} \times \vec{r}'| dt ds, \quad \vec{n} = \frac{\dot{\vec{r}} \times \vec{r}'}{|\dot{\vec{r}} \times \vec{r}'|} \quad (6.16')$$

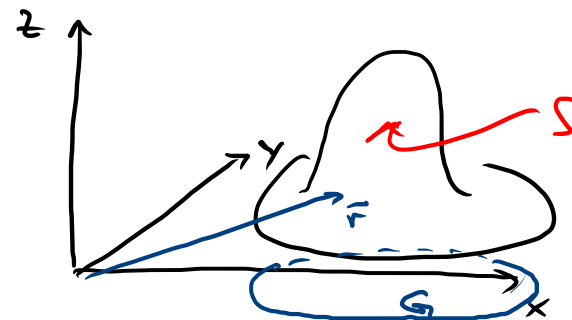
$$\text{Integral: } \int_S dA f(\vec{r}) := \int_G dt ds |\dot{\vec{r}} \times \vec{r}'|(t,s) f(\vec{r}(t,s)) \quad (6.17)$$

Beispiel: Masse eines Hutens S

parametrisiere durch Projektion in xy -Ebene

$$(t, s) = (x, y)$$

$$\vec{r}(x, y) = \begin{pmatrix} x \\ y \\ h(x, y) \end{pmatrix} \quad (x, y) \in G$$



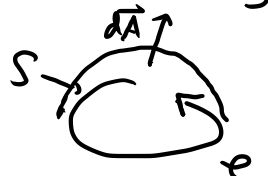
Massendichte $\sigma(\vec{r})$

$$M = \int_S dA \sigma(\vec{r}) = \int_G d\vec{r} \underbrace{|\dot{\vec{r}}_x \dot{\vec{r}}_y|}_{f(x, y)} \sigma(\vec{r}(x, y))$$

$$= \int_{x_1}^{x_2} dx \int_{y_1(x)}^{y_2(x)} dy \left| \begin{pmatrix} 1 \\ 0 \\ \partial_x h \end{pmatrix} \times \begin{pmatrix} 0 \\ 1 \\ \partial_y h \end{pmatrix} \right| \cdot f(x, y)$$

$$= \int_{x_1}^{x_2} dx \int_{y_1(x)}^{y_2(x)} dy \sqrt{1 + (\partial_x h)^2 + (\partial_y h)^2} f(x, y)$$

Orientierung: Vorzeichenwahl von $d\vec{A}$ ist Konvention

- S ohne Rand, aber orientiert $\rightarrow d\vec{A}$ zeige nach außen. Notation: $\oint_S dA$
- S mit Rand (notwendig geschlossen) \rightarrow Rechte-Hand-Regel: 

Beispiel: Strom I durch eine Fläche S

vektorielle Stromdichte $\vec{j}(\vec{r})$

nur die zur Fläche senkrechte Komponente $j_n = \vec{j} \cdot \vec{n}$ trägt zu I bei: Normaleneinheitsvektor

$$\begin{aligned} I &= \int_S dA j_n(\vec{r}) = \int_S \underbrace{dA \vec{n}} \cdot \vec{j}(\vec{r}) = \int_S d\vec{A} \cdot \vec{j}(\vec{r}) \\ &= \int_G dt ds (\dot{\vec{r}} \times \vec{r}') \cdot \vec{j}(\vec{r}) \Big|_{\vec{r} = \vec{r}(t,s)} \end{aligned} \quad (6.18)$$

e) Volumenintegral

$$I = \int_V d^3r f(\vec{r}) := \int_{x_1}^{x_2} dx \int_{y_1(x)}^{y_2(x)} dy \int_{z_1(x,y)}^{z_2(x,y)} dz f(x,y,z) \quad (6.19)$$

VI.5 Krummlinige Koordinaten

Zunächst im flachen Raum, zweidimensional

Beispiel: Polarkoordinaten $(x, y) \mapsto (r, \varphi)$

$$\left. \begin{array}{l} x = r \cos \varphi \\ y = r \sin \varphi \end{array} \right\} \Leftrightarrow \left\{ \begin{array}{l} r = \sqrt{x^2 + y^2} \\ \varphi = \arctan \frac{y}{x} \end{array} \right.$$

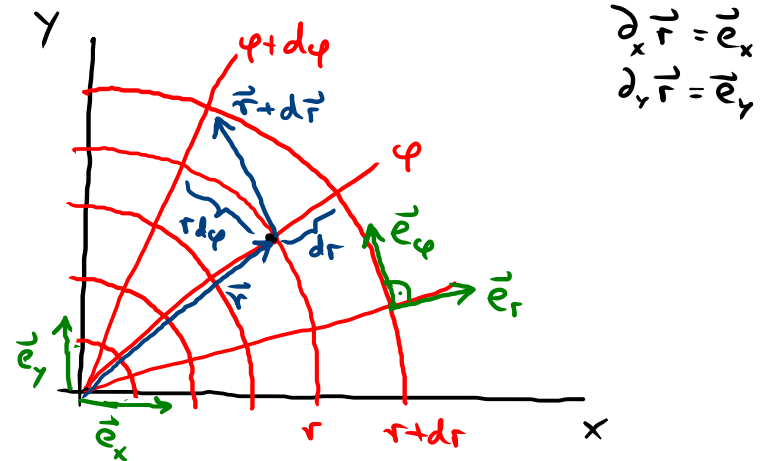
$$\vec{r}(r, \varphi) \doteq \begin{pmatrix} r \cos \varphi \\ r \sin \varphi \end{pmatrix} = \begin{pmatrix} x \\ y \end{pmatrix} \doteq \vec{r}(x, y)$$

neue Basisvektoren:

$$\partial_r \vec{r} \doteq \begin{pmatrix} c \\ s \end{pmatrix} \doteq \vec{e}_r b_r \quad \rightarrow \quad b_r = 1$$

$$\partial_\varphi \vec{r} \doteq r \begin{pmatrix} -s \\ c \end{pmatrix} \doteq \vec{e}_\varphi b_\varphi \quad \rightarrow \quad b_\varphi = r$$

$$c_{r\varphi} \doteq \vec{e}_r \cdot \vec{e}_\varphi \quad \text{hier: } c_{r\varphi} = 0$$



$$\begin{array}{l} \partial_x \vec{r} = \vec{e}_x \\ \partial_y \vec{r} = \vec{e}_y \end{array}$$

Vorsicht: $\vec{r} = \vec{e}_x x + \vec{e}_y y \neq \vec{e}_r r + \vec{e}_\varphi \varphi$

Statt \vec{r} studiert man besser Änderungen $d\vec{r}$, $\dot{\vec{r}}$ etc.

$$d\vec{r} = \partial_x \vec{r} dx + \partial_y \vec{r} dy = \vec{e}_x dx + \vec{e}_y dy \quad \leftarrow \vec{r}(x, y)$$

$$\stackrel{\text{oder}}{=} \partial_r \vec{r} dr + \partial_\varphi \vec{r} d\varphi = \vec{e}_r dr + \vec{e}_\varphi r d\varphi \quad \leftarrow \vec{r}(r, \varphi)$$

$$d\vec{r} = \begin{pmatrix} dx \\ dy \end{pmatrix} = \begin{pmatrix} c dr - r s d\varphi \\ s dr + r c d\varphi \end{pmatrix} = \begin{pmatrix} c & -rs \\ s & rc \end{pmatrix} \begin{pmatrix} dr \\ d\varphi \end{pmatrix} =: J \begin{pmatrix} dr \\ d\varphi \end{pmatrix} \quad (6.21)$$

teile durch dt für Kurven:

↑
Funktional- oder Jacobi-Matrix

$$\dot{\vec{r}} = \vec{e}_r \dot{r} + \vec{e}_\varphi r \dot{\varphi} = \begin{pmatrix} \dot{x} \\ \dot{y} \end{pmatrix} = \begin{pmatrix} c & -rs \\ s & rc \end{pmatrix} \begin{pmatrix} \dot{r} \\ \dot{\varphi} \end{pmatrix} \quad (6.21')$$

$$v^2(t) = \dot{\vec{r}}^2 = \dot{r}^2 + r^2 \dot{\varphi}^2$$

Linienelement: $(ds)^2 = d\vec{r} \cdot d\vec{r} = (dr)^2 + r^2 (d\varphi)^2$

↓ „quadratisches Differential“ (symmetrisch)

$$\stackrel{\frac{dt}{dt^2}}{=} \dot{\vec{r}} \cdot \dot{\vec{r}} (dt)^2 = (\dot{r}^2 + r^2 \dot{\varphi}^2) (dt)^2 = v^2 (dt)^2 \quad (6.22)$$

Flächenelement: $dA = dx dy = r dr d\varphi \quad (6.23)$

↑ „Dachprodukt“ (antisymmetrisch): $d\vec{r} \wedge d\varphi$

Anwendungen:

- Kugelvolumen: $V = 8 \int_0^{\pi/2} d\varphi \int_0^R dr r \sqrt{R^2 - r^2} \stackrel{\text{Höhe}}{\downarrow} = 8 \cdot \frac{\pi}{2} \int_0^R dr \left(-\frac{1}{3}\right) \partial_r (R^2 - r^2)^{3/2} = \frac{4\pi}{3} R^3$

- Gauß-Integral: $I_2 = \int_{\mathbb{R}^2} d^2r e^{-r^2/a^2} \stackrel{r \rightarrow r \cdot a}{=} a^2 \int_0^{2\pi} d\varphi \int_0^\infty dr r e^{-r^2} = a^2 2\pi \int_0^\infty dr \left(-\frac{1}{2}\right) \partial_r e^{-r^2} = \pi a^2 \quad (6.24)$

allgemeine Situation:

krümmelige Koordinaten im \mathbb{R}^2 , $(x, y) \mapsto (u, v)$

$$\vec{r} = \begin{pmatrix} x \\ y \end{pmatrix} = \begin{pmatrix} x(u, v) \\ y(u, v) \end{pmatrix} \quad [\text{nicht } \vec{r} = \begin{pmatrix} u \\ v \end{pmatrix} \text{ schreiben!}]$$

• Basisvektoren:

$$\partial_u \vec{r} = \vec{e}_u b_u, \quad \partial_v \vec{r} = \vec{e}_v b_v \quad \text{so dass} \quad \begin{cases} \vec{e}_u^2 = \vec{e}_v^2 = 1 \\ \vec{e}_u \cdot \vec{e}_v = c_{uv} \end{cases}$$

$$\text{d.h. } b_u(u, v) = |\partial_u \vec{r}|, \quad b_v(u, v) = |\partial_v \vec{r}| \quad (6.25)$$

• Differential:
$$d\vec{r} = \partial_u \vec{r} du + \partial_v \vec{r} dv$$
$$= \vec{e}_u b_u du + \vec{e}_v b_v dv$$

$$\begin{pmatrix} dx \\ dy \end{pmatrix} = \begin{pmatrix} \partial_u x du + \partial_v x dv \\ \partial_u y du + \partial_v y dv \end{pmatrix} = \begin{pmatrix} \partial_u x & \partial_v x \\ \partial_u y & \partial_v y \end{pmatrix} \begin{pmatrix} du \\ dv \end{pmatrix} =: J \cdot \begin{pmatrix} du \\ dv \end{pmatrix} \quad (6.26)$$

analog: $\begin{pmatrix} \dot{x} \\ \dot{y} \end{pmatrix} = J \cdot \begin{pmatrix} \dot{u} \\ \dot{v} \end{pmatrix}$ $\hookrightarrow (dx \ dy) = (du \ dv) \cdot J^T$

Linienelement²:

$$(ds)^2 = d\vec{r} \cdot d\vec{r} = (dx \ dy) \begin{pmatrix} dx \\ dy \end{pmatrix} = (du \ dv) J^T J \begin{pmatrix} du \\ dv \end{pmatrix} \quad (6.27)$$
$$\stackrel{\text{oder}}{=} (\partial_u \vec{r} du + \partial_v \vec{r} dv)^2 = (du \ dv) \begin{pmatrix} \partial_u \vec{r} \cdot \partial_u \vec{r} & \partial_u \vec{r} \cdot \partial_v \vec{r} \\ \partial_v \vec{r} \cdot \partial_u \vec{r} & \partial_v \vec{r} \cdot \partial_v \vec{r} \end{pmatrix} \begin{pmatrix} du \\ dv \end{pmatrix} =: (du \ dv) G \begin{pmatrix} du \\ dv \end{pmatrix}$$

induzierte Metrik:

$$G = \begin{pmatrix} \partial_u \vec{r} \cdot \partial_u \vec{r} & \partial_u \vec{r} \cdot \partial_v \vec{r} \\ \partial_v \vec{r} \cdot \partial_u \vec{r} & \partial_v \vec{r} \cdot \partial_v \vec{r} \end{pmatrix} = \begin{pmatrix} b_u^2 & b_u b_v c_{uv} \\ b_u b_v c_{uv} & b_v^2 \end{pmatrix} =: \begin{pmatrix} g_{uu} & g_{uv} \\ g_{vu} & g_{vv} \end{pmatrix} \quad g_{uv} = g_{vu}$$
$$= \begin{pmatrix} \partial_u x & \partial_u y \\ \partial_v x & \partial_v y \end{pmatrix} \cdot \begin{pmatrix} \partial_u x & \partial_v x \\ \partial_u y & \partial_v y \end{pmatrix} = J^T \cdot J \quad (6.27')$$

also

$$(ds)^2 = g_{uu} (du)^2 + 2g_{uv} du dv + g_{vv} (dv)^2 = g_{ij} du_i du_j$$

mit $i, j \in \{u, v\} = \{u_1, u_2\}$ und $g_{ij} = \partial_i \vec{r} \cdot \partial_j \vec{r}$

Kurven im \mathbb{R}^2 : $\vec{r}(t) \rightsquigarrow (x(t), y(t)) \rightsquigarrow (u(t), v(t)) \rightsquigarrow du_i = \dot{u}_i(t) dt$

$$ds = \sqrt{g_{ij} du_i du_j} = \sqrt{g_{ij} \dot{u}_i \dot{u}_j} dt = v(t) dt \quad \text{mit} \quad v^2 = (\dot{u} \ \dot{v}) G \begin{pmatrix} \dot{u} \\ \dot{v} \end{pmatrix} \quad (6.28)$$

wichtige Kurvenintegrale:

Bogenlänge: $s(1,2) = \int_1^2 ds = \int_{t_1}^{t_2} dt v(t) = \int_{t_1}^{t_2} dt \sqrt{g_{ij}(t) \dot{u}_i \dot{u}_j} \quad (6.29)$

Wirkung: $w(1,2) = \int_1^2 \vec{p} \cdot d\vec{r} = m \int_1^2 \dot{\vec{r}} \cdot d\vec{r} = m \int_{t_1}^{t_2} dt \frac{\dot{\vec{r}}^2}{v} = m \int_{t_1}^{t_2} dt g_{ij}(t) \dot{u}_i \dot{u}_j \quad (6.30)$

• Flächenelement:

lese $\vec{r}(u,v) \doteq \begin{pmatrix} x(u,v) \\ y(u,v) \\ z(u,v)=0 \end{pmatrix}$ wie Oberfläche im \mathbb{R}^3 , nur mit $z=0$
und (u,v) statt (t,s)

$$\begin{aligned} dA &= |\partial_u \vec{r} \times \partial_v \vec{r}| \, du \, dv = \sqrt{(\partial_u \vec{r} \times \partial_v \vec{r})^2} \, du \, dv \\ &= \sqrt{(\partial_u \vec{r})^2 (\partial_v \vec{r})^2 - (\partial_u \vec{r} \cdot \partial_v \vec{r})^2} \, du \, dv \\ &= \sqrt{\det \begin{pmatrix} \partial_u \vec{r} \cdot \partial_u \vec{r} & \partial_u \vec{r} \cdot \partial_v \vec{r} \\ \partial_u \vec{r} \cdot \partial_v \vec{r} & \partial_v \vec{r} \cdot \partial_v \vec{r} \end{pmatrix}} \, du \, dv = \sqrt{\det G} \, du \, dv \\ &= \sqrt{\det (J^T J)} \, du \, dv = \sqrt{(\det J^T)(\det J)} \, du \, dv = |\det J| \, du \, dv \quad (6.31) \end{aligned}$$

das heißt:

$$dx \, dy = |\det J| \, du \, dv = \left| \det \frac{\partial(x,y)}{\partial(u,v)} \right| \, du \, dv \quad \text{mit} \quad \frac{\partial(x,y)}{\partial(u,v)} = J$$

Substitutionsregel:

$$\int_G dx \, dy \, f(x,y) = \int_{\tilde{G}} du \, dv \, \left| \det \frac{\partial(x,y)}{\partial(u,v)} \right| \, f(x(u,v), y(u,v)) \quad (6.32)$$

• Beispiel Polarkoordinaten: $(x, y) \mapsto (r, \varphi)$

$$\begin{cases} x = r \cos \varphi \\ y = r \sin \varphi \end{cases}$$

$$J = \begin{pmatrix} c & -rs \\ s & rc \end{pmatrix} \quad J^T = \begin{pmatrix} c & s \\ -rs & rc \end{pmatrix} \quad G = \begin{pmatrix} 1 & 0 \\ 0 & r^2 \end{pmatrix}$$

$$|\det J| = \sqrt{\det G} = r \quad dx dy = r dr d\varphi \quad ds^2 = dr^2 + r^2 d\varphi^2$$

• Verhüttung $(x, y) \mapsto (u, v) \mapsto (t, s)$

$$\left| \det \frac{\partial(x, y)}{\partial(u, v)} \right| \cdot \left| \det \frac{\partial(u, v)}{\partial(t, s)} \right| = \left| \det \left(\frac{\partial(x, y)}{\partial(u, v)} \cdot \frac{\partial(u, v)}{\partial(t, s)} \right) \right|$$

rechner
=
nach

$$\left| \det \frac{\partial(x, y)}{\partial(t, s)} \right|$$

- Erweiterung auf 3 Dimensionen

$$(x, y, z) \mapsto (u, v, w) \quad \vec{r}(u, v, w)$$

alles analog zu 2 Dimensionen: J, G sind 3×3 Matrizen

Linienelement entsprechend

Volumenelement

$$\begin{aligned} dV &= dx dy dz = \left| \det \frac{\partial(x, y, z)}{\partial(u, v, w)} \right| du dv dw \\ &= \left| (\partial_u \vec{r} \times \partial_v \vec{r}) \cdot \partial_w \vec{r} \right| du dv dw \quad (6.33) \end{aligned}$$

Oberflächenelement: Einbettung einer Fläche S im \mathbb{R}^3

$$\mathbb{R}^3 \ni \vec{r} \doteq \begin{pmatrix} x(u, v) \\ y(u, v) \\ z(u, v) \end{pmatrix} \quad \text{hatten wir schon: } \vec{r}(t, s) \quad \cancel{A} J$$

$$dA = \left| \partial_u \vec{r} \times \partial_v \vec{r} \right| du dv = \sqrt{\det G} du dv \quad \text{mit } g_{ij} = \partial_i \vec{r} \cdot \partial_j \vec{r}$$

• Beispiel: Kugelkoordinaten

$$(x, y, z) \mapsto (r, \vartheta, \varphi)$$

\swarrow \swarrow \swarrow
 $[0, \infty)$ $[0, \pi]$ $[0, 2\pi)$

$$\begin{pmatrix} x \\ y \\ z \end{pmatrix} = \begin{pmatrix} r \sin \vartheta \cos \varphi \\ r \sin \vartheta \sin \varphi \\ r \cos \vartheta \end{pmatrix} =: r \begin{pmatrix} \sin \vartheta \cos \varphi \\ \sin \vartheta \sin \varphi \\ \cos \vartheta \end{pmatrix} =: \underline{r}$$

$$\partial_r \underline{r} = \begin{pmatrix} \sin \vartheta \cos \varphi \\ \sin \vartheta \sin \varphi \\ \cos \vartheta \end{pmatrix}, \quad \partial_\vartheta \underline{r} = r \begin{pmatrix} \cos \vartheta \cos \varphi \\ \cos \vartheta \sin \varphi \\ -\sin \vartheta \end{pmatrix}, \quad \partial_\varphi \underline{r} = r \begin{pmatrix} -\sin \vartheta \sin \varphi \\ \sin \vartheta \cos \varphi \\ 0 \end{pmatrix}$$

$b_r = 1$ $b_\vartheta = r$ $b_\varphi = r \sin \vartheta$

alle
orthogonal

$$J = \begin{pmatrix} \frac{\partial x}{\partial r} & \frac{\partial x}{\partial \vartheta} & \frac{\partial x}{\partial \varphi} \\ \frac{\partial y}{\partial r} & \frac{\partial y}{\partial \vartheta} & \frac{\partial y}{\partial \varphi} \\ \frac{\partial z}{\partial r} & \frac{\partial z}{\partial \vartheta} & \frac{\partial z}{\partial \varphi} \end{pmatrix} \rightsquigarrow J^T J = G = \begin{pmatrix} 1 & 0 & 0 \\ 0 & r^2 & 0 \\ 0 & 0 & r^2 \sin^2 \vartheta \end{pmatrix}$$

$$(ds)^2 = (dr)^2 + r^2 (d\vartheta)^2 + r^2 \sin^2 \vartheta (d\varphi)^2$$

$$\dot{r}^2 = \dot{r}^2 + r^2 \dot{\vartheta}^2 + r^2 \sin^2 \vartheta \dot{\varphi}^2$$

$$|\det J| = \sqrt{\det G} = r^2 \sin \vartheta$$

(6.34)

$$dV = r^2 \sin \vartheta \, dr \, d\vartheta \, d\varphi = -r^2 \, dr \, d(\cos \vartheta) \, d\varphi =: r^2 \, dr \, d\Omega \quad (6.35)$$

$\sin \vartheta \, d\vartheta \, d\varphi$



Anwendungen

- Kugeloberfläche S_R^2 $r = R = \text{const.}$

$$dA = \left. \frac{dV}{dr} \right|_{r=R} = R^2 \sin \vartheta \, d\vartheta \, d\varphi$$

$$G: \begin{array}{c} (\vartheta, \varphi) \\ | \quad \backslash \\ [0, \pi] \times [0, 2\pi) \end{array}$$

$$A_R = \int_{S_R^2} dA = \int_G \overbrace{R^2 \sin \vartheta \, d\vartheta \, d\varphi}^{d\Omega = dA|_{R=1}} = R^2 \int_0^\pi d\vartheta \sin \vartheta \int_0^{2\pi} d\varphi = R^2 \cdot 2 \cdot 2\pi = 4\pi R^2$$

- Kugelvolumen B_R^3 $r \in [0, R]$ sowie $(\vartheta, \varphi) \in S_{(R=1)}^2$

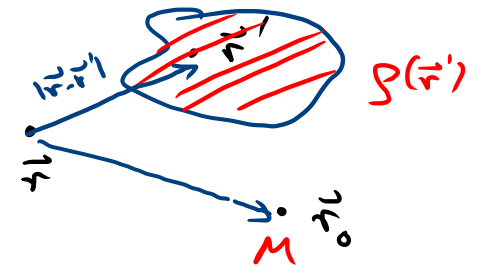
$$V_R = \int_{B_R^3} dV = \int_0^R dr \, r^2 \underbrace{\int_0^\pi d\vartheta \sin \vartheta \int_0^{2\pi} d\varphi}_{4\pi} = 4\pi \left. \frac{1}{3} r^3 \right|_0^R = \frac{4\pi}{3} R^3$$

VI.6 Delta-Distribution

Beschreibung von Massen- oder Ladungsdichten von Objekten, die nicht 3-dimensional sind

Beispiel: Gravitationspotential eines Massepunktes M bei \vec{r}_0

$$V(\vec{r}) = -\underset{\substack{\uparrow \\ \text{Testmasse}}}{\gamma m} \int_{\mathbb{R}^3} d^3r' \frac{\rho(\vec{r}')}{|\vec{r} - \vec{r}'|} = -\gamma m \frac{M}{|\vec{r} - \vec{r}_0|}$$



wie muss $\rho(\vec{r}')$ beschaffen sein, damit das stimmt?

notwendig: $\rho(\vec{r}') = 0$ für $\vec{r}' \neq \vec{r}_0$ konzentriert

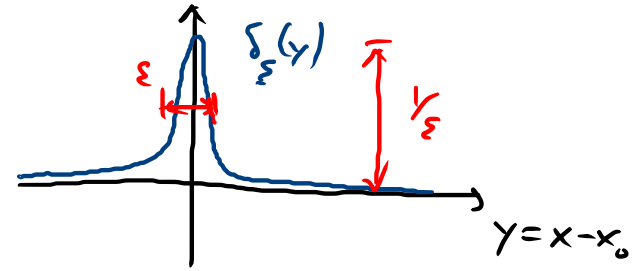
$$\int_{\mathbb{R}^3} d^3r' \rho(\vec{r}') = M \quad \text{Gesamtmasse}$$

vereinfachte Diskussion auf eine Dimension

gesucht ist „Funktion“ $\rho(x)$ mit
$$\begin{cases} \rho(x) = 0 & \forall x \neq x_0 \\ \int_{-\infty}^{+\infty} dx \rho(x) = 1 \end{cases}$$

⚡ solche Funktion, aber näherungsweise

$$f_{\varepsilon}(x) =: \delta_{\varepsilon}(x-x_0)$$



Grenzwert $\varepsilon \rightarrow 0$ existiert nicht als Funktion

aber „verallgemeinerte Funktion“, sog. „Distribution“ $\delta_0(x-x_0) =: \delta(x-x_0)$

wird nur unter einem Integral gebraucht

Definition:
$$\int_{-\infty}^{+\infty} dx \delta(x-x_0) t(x) = t(x_0) \quad (6.36)$$

für alle „vernünftigen“ Funktionen t : „ δ erschlägt Integral“

↑
heißen Testfunktionen, verschwinden genügend schnell für $|x| \rightarrow \infty$

verschiedene Darstellungen von δ_ε :

$$\cdot \delta_\varepsilon(x) = \begin{cases} \frac{1}{2\varepsilon} & x \in [-\varepsilon, \varepsilon] \\ 0 & \text{sonst} \end{cases}$$

Kastenfunktion

$$\cdot \delta_\varepsilon(x) = \frac{1}{\varepsilon\sqrt{\pi}} e^{-x^2/\varepsilon^2}$$

Gaußfunktion

$$\cdot \delta_\varepsilon(x) = \frac{1}{\pi} \frac{\varepsilon}{x^2 + \varepsilon^2}$$

Lorentzkurve

(6.37)

Eigenschaften: (6.38)

$$(i) \int_{-\infty}^{+\infty} dx \delta(x-x_0) = 1$$

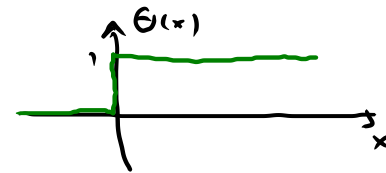
$$(ii) \int_a^b dx \delta(x-x_0) f(x) = \begin{cases} f(x_0) & a < x_0 < b \\ \frac{1}{2} f(x_0) & x_0 = a \text{ oder } x_0 = b \\ 0 & \text{sonst} \end{cases}$$

$$(iii) \delta(-x) = \delta(x)$$

$$(iv) \int_{-\infty}^{+\infty} dx \delta'(x-x_0) f(x) = -f(x_0)$$

$$(v) \delta'(x) = \delta(x) \quad \text{mit} \quad \Theta(x) = \begin{cases} 0 & x < 0 \\ \frac{1}{2} & x = 0 \\ 1 & x > 0 \end{cases} = \frac{1}{2} (\operatorname{sgn} x + 1)$$

Heaviside-
oder
Stufenfunktion



$$(vi) \delta(ax) = \frac{1}{|a|} \delta(x)$$

$$[d(ax) = a \cdot dx]$$

$$(vii) \delta(h(x)) = \sum_n \frac{\delta(x-x_n)}{|h'(x_n)|}$$

$$\text{mit } h(x_n) = 0, h'(x_n) \neq 0$$

$$(viii) \dim[\delta(x)] = -\dim[x]$$

Von einer Dimension zurück nach drei Dimensionen

• in kartesischen Koordinaten

$$\begin{array}{lcl}
 \delta(x) & \text{reduziert} & \int d^3r \rightarrow \int dy \int dz \quad yz\text{-Ebene} \\
 \delta(x)\delta(y) & \text{---} \parallel \text{---} & \int dz \quad z\text{-Achse} \\
 \delta(x)\delta(y)\delta(z) & \text{---} \parallel \text{---} & \text{Punkt } \vec{r}=0
 \end{array}
 \quad \left. \begin{array}{l} \\ \\ \end{array} \right\} \text{„Träger“}$$

allgemeiner $\delta(\vec{r}-\vec{r}_0)$ für punktförmigen Träger bei \vec{r}_0

Eigenschaft: $\int_{\mathbb{R}^3} d^3r \delta(\vec{r}-\vec{r}_0) f(\vec{r}) = f(\vec{r}_0) \quad (6.39)$

• in krummlinigen Koordinaten

$$\begin{aligned}
 \vec{r} &: (x, y, z) \rightarrow (u, v, w) \\
 \vec{r}_0 &: (x_0, y_0, z_0) \rightarrow (u_0, v_0, w_0)
 \end{aligned}$$

$$f(x_0, y_0, z_0) = \int_{\mathbb{R}^3} dx dy dz f(x, y, z) \delta(\vec{r}-\vec{r}_0)$$

← $\delta(x-x_0)\delta(y-y_0)\delta(z-z_0)$

$$= \int du dv dw \underbrace{f(x(u, v, w), y(u, v, w), z(u, v, w))}_{=: g(u, v, w)} \left| \det \frac{\partial(x, y, z)}{\partial(u, v, w)} \right| \delta(\vec{r}-\vec{r}_0)$$

aber auch

$$g(u_0, v_0, w_0) = \int du dv dw g(u, v, w) \delta(u-u_0) \delta(v-v_0) \delta(w-w_0)$$

beides ist gleich \Rightarrow

$$\delta(\vec{r}-\vec{r}_0) = \delta(u-u_0) \delta(v-v_0) \delta(w-w_0) \left/ \left| \det \frac{\partial(x, y, z)}{\partial(u, v, w)} \right| \right. \quad (6.40)$$

Bsp. 2d Polar
zentriert um \vec{r}_0

$$\delta(\vec{r}-\vec{r}_0) = \frac{1}{r} \delta(r) \delta(\varphi)$$